

ОБ ОДНОЙ СХЕМЕ ПЛОСКОГО ДВИЖЕНИЯ ЖИДКОСТИ  
ПРИ НАЛИЧИИ НА ДНЕ ТРАНШЕИ

А. Б. Шабат

(Новосибирск)

Строится класс обтеканий контуров по схеме, предложенной М. А. Лаврентьевым, и устанавливаются некоторые общие свойства краевой задачи, соответствующей этой схеме.

Рассматриваемая плоская задача А ставится следующим образом.

*Задача А.* Движение жидкости происходит в области (фиг. 1), ограниченной линией  $L$

$$y = y(x), \quad \lim_{|x| \rightarrow \infty} y(x) = 0$$

гладкой всюду, кроме точек  $a_1$  и  $a_2$ , где направление касательной меняется скачком. Область течения  $D\{y > y(x)\}$  состоит из двух областей  $D_1$  и  $D_2$ ; область  $D_1$  (конечная область) ограничена дугой  $(a_1, a_2)$  линии  $L$  и дугой  $\gamma$ , лежащей в  $D$  и соединяющей точки  $a_1$  и  $a_2$ ; область  $D_2$  — часть  $D$ , расположенная выше  $\gamma$ . Требуется по заданной линии  $L$  и скорости потока на бесконечности определить в каждой из этих областей поле скоростей  $(u, v)$ , удовлетворяющее следующим условиям:

(а) в области  $D_2$  движение безвихревое, а в  $D_1$  — с постоянным<sup>1</sup> вихрем  $\omega$

$$\frac{\partial u}{\partial x} + \frac{\partial v}{\partial y} = 0, \quad \frac{\partial u}{\partial y} - \frac{\partial v}{\partial x} = \begin{cases} 0 & \text{для } D_2 \\ \omega & \text{для } D_1 \end{cases}$$

(б) линии  $L$  и  $\gamma$  являются линиями тока;

(с) вдоль  $\gamma$  скорости обоих течений совпадают.

Сформулированная задача А является задачей со «свободной» границей; при заданной скорости потока на бесконечности линия  $\gamma$  и величина завихренности  $\omega$  подлежат определению. Математическое исследование этой задачи приводит к сложному нелинейному интегральному уравнению, и точной теоремы существования и единственности доказать пока не удалось. Однако приближенное исследование полученного интегрального уравнения довольно убедительно показывает, что существование и единственность (при заданной скорости потока на бесконечности) решения задачи А имеют место для широкого класса линий  $L$ .

Основной целью заметки является построение класса течений, удовлетворяющих требованиям задачи А. При этом оказывается более удобно задаваться дугой  $\gamma$  и пристраивать к потенциальному течению в области  $D_2$  с известной границей вихревое течение в подлежащей определению области  $D_1$ . По существу в заметке рассматривается вместо задачи А следующая более простая задача Б.

*Задача Б.* Пусть задана граница области  $D_2$  безвихревого течения и величина завихренности  $\omega$ . Будем называть гладкую дугу  $L_1$  без точек самопересечения, соединяющую точку  $a_1$  и  $a_2$ , решением задачи Б, если потенциальное течение в  $D_2$  и течение с завихренностью  $\omega$  в области  $D_1$ , ограниченной  $L_1$  и  $\gamma$ , удовлетворяет всем условиям задачи А.

Статья состоит из трех параграфов. В § 1 выясняются свойства распределения давления в области  $D_1$  вихревого течения. § 2 посвящен общему исследованию задачи Б; основным результатом этого параграфа является теорема существования решения задачи Б для любой аналитической дуги  $\gamma$ . В § 3 при помощи метода § 2 проводится полное исследование класса течений, удовлетворяющих схеме М. А. Лаврентьева.

<sup>1</sup> Убедительные доводы в пользу того, что в области установившегося плоского течения идеальной жидкости с замкнутыми линиями тока завихренность должна быть постоянной, приведены в работе Батчеллора [1].

**§ 1. Распределение давления в области вихревого течения.** Поле скоростей течения, удовлетворяющего требованиям задачи А, непрерывно во всей области течения  $D = D_1 \cup D_2$  и непрерывно дифференцируемо как в области  $D_1$ , так и в области  $D_2$ . На дуге  $\gamma$  терпят разрыв первого рода нормальные производные от компонент скорости. Легко видеть, что для таких течений давление остается непрерывным при переходе через  $\gamma$ . Рассмотрим относительные величины давления в области  $D_1$  течения с постоянной завихренностью  $\omega$  (на самом деле,  $\omega$  равна завихренности с обратным знаком) и в области  $D_2$  потенциального течения. Интегралы Бернулли имеют в этих областях соответственно вид

$$H = \omega\psi, \quad H = \text{const} \quad \left( H = \frac{p}{\rho} + \frac{1}{2} q^2 + \Omega \right) \quad (1.1)$$

Здесь  $\psi$  — функция тока, а  $\Omega$  — потенциал поля внешних сил. Предположим для простоты, что  $\Omega \equiv 0$ , тогда при подходящем выборе произвольных постоянных из (1.1) имеем

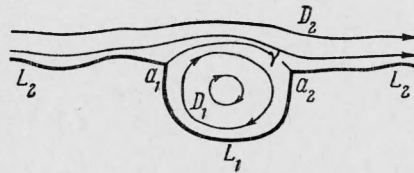
$$\begin{aligned} \frac{p}{\rho} + \frac{1}{2} q^2 &= 0 \quad \text{для } D_2 \\ \frac{p}{\rho} + \frac{1}{2} q^2 &= \omega\psi \quad \text{для } D_1 \end{aligned} \quad (1.2)$$

(в силу этого выбора  $\psi = 0$  на  $\gamma$ ).

Нетрудно показать, что при условии на бесконечности  $v = 0, u > 0$  завихренность  $\omega$  всегда больше нуля.

Так как в  $D_1$

$\Delta\psi = \omega, \quad \psi = 0$  на  $\gamma$   
из  $\omega > 0$  следует, что  $\psi < 0$  в  $D_1$ . Таким образом, в области вихревого течения  $p/\rho + 1/2 q^2 < 0$  и при равных абсолютных скоростях давление в  $D_1$  меньше, чем в  $D_2$ .



Фиг. 1

В силу принципа максимума для субгармонической функции минимум  $\psi$  достигается в некоторой внутренней точке  $b$ , являющейся стационарной точкой ( $u = v = 0$ ) поля скоростей. Интересно, что при широких предположениях относительно характера движения идеальной несжимаемой жидкости в стационарной точке  $b$ , лежащей внутри области течения, давление достигает не максимума, а минимума. Действительно, в системе координат  $(x, y)$  с началом в точке  $b$  и осью  $x$ , направленной так, чтобы  $\partial u / \partial x = 0$  при  $x = y = 0$  (очевидно, что такое направление найдется) имеем в силу уравнения неразрывности  $\partial v / \partial y = 0$  при  $x = y = 0$ . Дифференцируя уравнения движения

$$-\frac{1}{\rho} \frac{\partial p}{\partial x} = u \frac{\partial u}{\partial x} + v \frac{\partial u}{\partial y}, \quad -\frac{1}{\rho} \frac{\partial p}{\partial y} = u \frac{\partial v}{\partial x} + v \frac{\partial v}{\partial y} \quad (1.3)$$

получаем, что при таком выборе системы координат

$$\frac{\partial^2 p}{\partial x \partial y} = 0, \quad \frac{\partial^2 p}{\partial x^2} = \frac{\partial^2 p}{\partial y^2} = -\frac{\partial u}{\partial y} \frac{\partial v}{\partial x} \quad \text{при } x = y = 0$$

Стандартное исследование поведения интегральных кривых в окрестности особой точки  $b$  дифференциального уравнения линий тока приводит к следующему утверждению.

Пусть  $b$  — стационарная точка поля скоростей, в окрестности которой все линии тока представляют собой либо спирали, либо замкнутые кривые, охватывающие  $b$ .

Тогда при ненулевой величине завихренности в точке  $b$  давление в этой точке достигает относительного минимума.

Подчеркиваем, что сформулированное утверждение справедливо для произвольного распределения завихренности в области течения.

В случае движений с постоянной завихренностью можно в дополнение к полученному результату установить некоторые свойства распределения давления во всей области течения. Так как для течений с постоянным вихрем компоненты скорости являются гармоническими функциями, из интеграла Бернулли (1.2) следует, что

$$\Delta \left( \frac{p}{\rho} + \frac{1}{2} q^2 \right) = \omega \Delta \psi = \omega^2 \quad \text{или} \quad \Delta p = 2 \frac{\partial(u, v)}{\partial(x, y)} = 2J$$

Обозначим через  $B$  область вихревого течения с выколотыми стационарными точками  $b_k$  поля скоростей.

В области  $B$  в силу уравнений движения (1.3)

$$J = -\frac{1}{u} \begin{vmatrix} p_x & u_y \\ p_y & v_y \end{vmatrix} \quad \text{при } u \neq 0, \quad J = -\frac{1}{v} \begin{vmatrix} u_x & p_x \\ v_x & p_y \end{vmatrix} \quad \text{при } v \neq 0$$

Следовательно, в этой области давление удовлетворяет эллиптическому дифференциальному уравнению вида

$$\Delta p + c(x, y) p_x + d(x, y) p_y = 0$$

и в силу общей теоремы Хопфа (см. [2], стр. 13—14) минимум и максимум давления достигаются на границе  $B$ . Резюмируя все выше сказанное, можно сформулировать следующее утверждение.

В области  $D_1$  течения с постоянным вихрем давление при равных абсолютных величинах скорости меньше, чем в области  $D_2$  потенциального течения.

При естественном предположении замкнутости линий тока вблизи стационарных точек  $b_k$  поля скоростей, лежащих внутри  $D_1$ , минимум давления достигается либо на границе этой области, либо в одной из точек  $b_k$ .

Некоторые соображения в пользу того, что минимум достигается во внутренней стационарной точке  $b_k$ , а не на границе  $D_1$ , будут приведены позднее в § 3.

**§ 2. Общие свойства задачи Б.** При заданной границе области  $D_2$  можно считать известной аналитическую функцию

$$\chi_2'(z) = u - iv$$

определяющую поле скоростей в области безвихревого течения.

Предположим, что дуга  $\gamma$  является аналитической, и покажем, что при заданной величине параметра  $\omega$  поле скоростей  $(u, v)$ , удовлетворяющее системе уравнений

$$\frac{\partial u}{\partial x} + \frac{\partial v}{\partial y} = 0, \quad \frac{\partial u}{\partial y} - \frac{\partial v}{\partial x} = \omega \quad (2.1)$$

вполне определяется условием (с)

$$F(z) = \chi_2'(z) \quad \text{при } z \in \gamma \quad (2.2)$$

Здесь через  $F(z) = u - iv$  обозначена комплексная скорость вихревого течения.

В самом деле, из (2.1) следует, что функция  $F(z)$  представима в виде

$$F(z) = F^*(z) + \omega y$$

где  $F^*(z)$  — аналитическая функция. Условие (2.2) дает

$$F^*(z) = \chi_2'(z) - \omega y \quad \text{при } z \in \gamma$$

и, следовательно,

$$F^*(z) = \chi_1'(z) - \omega f(z)$$

где через  $\chi_1'(z)$  обозначено аналитическое продолжение  $\chi_2'(z)$ , а  $f(z) = y$  при  $z \in \gamma$ .

Нетрудно найти явное выражение функции  $f(z)$ . Выберем для этого на  $\gamma$  в качестве параметра длину дуги  $s$ , отсчитываемую от точки  $a_2$

$$\gamma = \{x = X(s), y = Y(s), 0 < s < l\}$$

и рассмотрим функцию

$$g(\zeta) = X(\zeta) + iY(\zeta), \quad \zeta = s + ip$$

Эта функция осуществляет конформное отображение (производная  $g'(\zeta)$  не обращается в нуль, так как  $X'^2 + Y'^2 = 1$ ) окрестности отрезка  $0 < s < l$  на окрестность дуги  $\gamma$ . Легко видеть, что сложная функция

$$f(z) = Y[g^{-1}(z)] \tag{2.3}$$

является аналитической вблизи  $\gamma$  и принимает на  $\gamma$  значения, равные  $y$ .

Возвращаясь к поставленной выше задаче Б, можно заключить, что гладкая линия тока  $L_1$  поля  $(u, v)$ , соединяющая точки  $a_1$  и  $a_2$

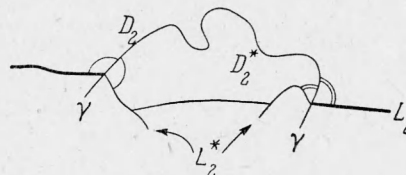
$$u - iv = F(z) = \chi_1'(z) - \omega f(z) + \omega y \tag{2.4}$$

будет решением задачи Б, если в области  $D_1$ , ограниченной  $L_1$  и  $\gamma$ , нет особых точек аналитических функций  $\chi_1'(z)$  и  $f(z)$ .

В дальнейшем будем предполагать дугу  $\gamma$  аналитической, включая концы  $a_1$  и  $a_2$  (на  $L$  по-прежнему накладывается одно только требование гладкости). Легко видеть, что это условие обеспечивает регулярность поля (2.4) в некоторой области  $D_2^*$  вида, показанного на фиг. 2.

Изучение задачи Б естественно начать с исследования характеристических направлений в особых точках  $a_1$  и  $a_2$  дифференциального уравнения линий тока

$$\frac{dy}{dx} = \frac{v}{u} \tag{2.5}$$



Фиг. 2

лежащих в области  $D_2^*$ . Известно, что производная конформного отображения  $w = f(z)$  области  $D$ , ограниченной двумя гладкими кривыми  $\gamma_1$  и  $\gamma_2$ , смыкающимися в точке  $z = 0$ , под углом  $\alpha$ ,  $0 < \alpha < 2$ , на область с гладкой вблизи  $f(0)$  границей имеет вид <sup>1</sup>

$$f'(z) = cz^{\frac{1-\alpha}{\alpha}} + o\left(z^{\frac{1-\alpha}{\alpha}}\right), \quad z \in [D] \tag{2.6}$$

где  $c$  — некоторое отличное от нуля число, а через  $(D)$  обозначено замыкание области  $D$ . Выясним порядок остаточного члена формулы (2.6).

Пусть  $z_1 = z^{1/\alpha}$ , тогда, как легко получить из теоремы Келлога (см. [3], стр. 468), производная конформного отображения

$$w = f_1(z_1) = f(z_1^\alpha)$$

допускает вблизи точки  $z_1 = 0$  представление

$$f_1'(z_1) = c + d_1(z_1)z_1^\beta \quad (|c| > 0)$$

где  $\beta$  — любое число из интервала  $0 < \beta < 1$ , а  $d_1(z_1) \rightarrow 0$  при  $z_1 \rightarrow 0$ .

<sup>1</sup> Для простоты предполагается, что касательная к  $\gamma_2$  в точке  $z = 0$  совпадает с действительной осью.

Так как

$$f'(z) = f_1' \left( \frac{1}{z^\alpha} \right) z^{\frac{\alpha-1}{\alpha}}$$

то отсюда следует, что

$$f'(z) = cz^{\frac{1-\alpha}{\alpha}} + d(z) z^{\frac{1+\beta}{\alpha}} - 1 \quad (0 < \beta < 1) \quad (2.7)$$

где

$$d(z) \rightarrow 0 \quad \text{при } z \rightarrow 0$$

Заметим, что представление в виде бесконечного ряда

$$z = \varphi(w) = c_1 w^\alpha + c_2 w^{2\alpha} + c_3 w^{3\alpha} + \dots$$

легко получающееся, когда  $\gamma_1$  и  $\gamma_2$  являются отрезками прямых, справедливо далеко не всегда даже для аналитических дуг  $\gamma_1$  и  $\gamma_2$  (предполагается, что образы  $\gamma_1$  и  $\gamma_2$  в плоскости  $w$  образуют аналитическую дугу). Например, если одна из дуг (пусть  $\gamma_1$ ) есть отрезок прямой и  $\alpha = 1/2$ , необходимым и достаточным условием представимости  $\varphi(w)$  в указанном виде является условие аналитичности  $\gamma_2$  плюс условие симметрии  $\gamma_2$  относительно прямой  $\gamma_1$ .



Фиг. 3

Отметим, что формула (2.7) доказана в одном лишь предположении гладкости дуг  $\gamma_1, \gamma_2$ . Пусть  $L_2$  — часть  $L$ , примыкающая к  $D_2$ , образует с  $\gamma$  в точках  $a_1$  и  $a_2$  углы  $\alpha_1\pi$  и  $\alpha_2\pi$  соответственно. Ясно, что при аналитическом продолжении  $\chi_2(z)$  линия  $\gamma$  и образ  $L_2$ , на которых  $\psi_1 = 0$  [ $\chi_1(z) = \varphi_1 + i\psi_1$ ] образуют между собой в точке  $a_i$  угол  $\alpha_i\pi$ ,  $i = 1, 2$ . Следовательно, представление вида (2.7) остается справедливым и в области  $D_2^*$ , показанной на фиг. 2. Из (2.4) и (2.7) вытекает следующее представление поля скоростей вихревого течения в окрестности точки  $a_2$  при  $z \in [D_2^*]$

$$u - iv = cr^{\frac{1-\alpha_2}{\alpha_2}} e^{i\frac{1-\alpha_2}{\alpha_2}\varphi} + o\left(r^{\frac{1+\beta}{\alpha}-1}\right) + \omega r \sin(\varphi - \alpha_2\pi) e^{-i\alpha_2\pi} + O(r^2)$$

где  $c > 0$ ,  $r = |z - a_2|$  и угол  $\varphi$  отсчитывается от касательной к  $L_2$  против часовой стрелки. Нетрудно показать, используя это представление, что любое решение дифференциального уравнения (2.5), проходящее через точку  $a_2$ , имеет в этой точке определенное направление касательной. Стандартная процедура нахождения характеристических направлений  $\varphi = \beta_2\pi$ , лежащих в области  $D_2^*$ , приводит к соотношениям:

$$\begin{aligned} (1) \quad \beta_2 &= \alpha_2 && \text{при } 0 < \alpha_2 < \frac{1}{2} \\ (2) \quad \operatorname{tg}(\beta_2\pi) &= -\omega / 2c, \quad \infty && \text{при } \alpha_2 = \frac{1}{2} \\ (3) \quad \beta_2 &= 2\alpha_2 && \text{при } \frac{1}{2} < \alpha_2 < 1 \\ (4) \quad \beta_2 &= \alpha_2 && \text{при } 2 > \alpha_2 > 1 \end{aligned} \quad (2.8)$$

В точке  $a_1$  зависимость  $\beta_1 = f(\alpha_1)$  имеет, очевидно, тот же вид, если только обозначить через  $\beta_1\pi$  угол между  $L_2$  и характеристическим направлением, отсчитываемый от  $L_2$  по часовой стрелке. В противоположность (2.7) соотношения (2.8) существенно зависят от предположения аналитичности  $\gamma$ , включая конец  $a_2$ . Нами найдено численным исследованием интегрального уравнения, соответствующего задаче А, потенциально вихревое течение над гладким дном (фиг. 3), хотя из (2.8), на первый взгляд, следует, что задача А не может иметь такого решения. Кажущееся противоречие объясняется тем, что в концах дуги  $\gamma$  нарушается аналитичность и поэтому формула (2.7) перестает быть справедливой в  $D_2^*$ .



При  $1/2 < \alpha_i < 2$  имеем  $u - iv \approx \chi_1'(z)$  и поле направлений вблизи характеристического направления  $\beta_i \pi$  примет вид, показанный на фиг. 4. Ясно, что в этом случае по характеристическому направлению может входить только одна интегральная кривая дифференциального уравнения (2.5) (в противном случае нашлась бы такая область, в которой  $\psi \equiv 0$ ). Следовательно, если хотя бы одно из  $\alpha_i > 1$ , задача Б не может иметь решения.

**Теорема 2.1.** Пусть аналитическая, включая концы  $a_1$  и  $a_2$ , дуга  $\gamma$  образует с  $L_2$  ненулевые углы  $\alpha_1 \pi$  и  $\alpha_2 \pi$ , причем  $0 < \alpha_i < 1$ .

Тогда найдется такое  $\omega_0 > 0$ , зависящее от  $\gamma$ , что при всех  $\omega \geq \omega_0$  решение  $L_1(\omega)$  задачи Б существует. Линии  $L_1(\omega)$  образуют монотонное семейство, стягивающееся к  $\gamma$  при  $\omega \rightarrow \infty$ .

*Доказательство.* Нетрудно проверить, что функцию тока  $\psi$  вихревого течения с полем скоростей (2.4) можно представить в виде

$$\psi(x, y; \omega) = \text{Im} \left\{ x_1(z) - \omega \int f(z) dz \right\} + \omega \frac{y^2}{2}$$

Обозначим через  $\psi_1(x, y)$  и  $b(x, y)$  мнимые части первообразных от  $\chi_1'(z)$  и  $f(z)$  и перепишем это соотношение в форме

$$\psi(x, y; \omega) = \psi_1(x, y) - \omega \varphi(x, y) \quad (\varphi = b - y^2/2) \quad (2.9)$$

Будем считать в дальнейшем, что аддитивная постоянная, неявно входящая в (2.9), выбрана так, чтобы

$$\psi_1(x, y) = \varphi(x, y) = 0 \quad \text{при } z \in \gamma$$

Ясно, что линия  $L_1(\omega)$  является решением уравнения

$$\psi(x, y; \omega) = 0$$

и вопрос о существовании решения задачи Б есть вопрос о существовании пересечения (с гладкой проекцией) поверхностей  $t = \psi_1(x, y)$  и  $t = \omega \varphi(x, y)$ , проходящего через точки  $a_1$  и  $a_2$ . Исследуем поведение этих поверхностей вблизи аналитической кривой  $\gamma$

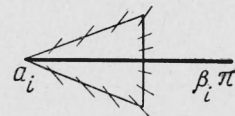
$$x = X(s), \quad y = Y(s) \quad (s_1 \leq s \leq s_2, \quad s_1 < 0, \quad s_2 > l)$$

Здесь  $s$  — длина дуги  $\gamma$ , отсчитываемая от точки  $a_2$ , причем точке  $a$  соответствует  $s = l$ . Введем в окрестности  $\gamma$  местную систему координат  $(s, n)$

$$z = g(\zeta) = X(\zeta) + iY(\zeta), \quad \zeta = s + in$$

(см. стр. 71). Нетрудно проверить, что на  $\gamma$

$$\frac{\partial \varphi}{\partial n} = \frac{\partial \varphi}{\partial s} = 0, \quad \frac{\partial^2 \varphi}{\partial n^2} = -1 \quad (2.10)$$



Фиг. 4

Последнее равенство следует из того, что  $|g'(\zeta)| = 1$ ,  $\partial^2 \varphi / \partial s^2 = 0$  при  $n = 0$  и функция  $\varphi(s, n)$  удовлетворяет уравнению

$$\frac{\partial^2 \varphi}{\partial s^2} + \frac{\partial^2 \varphi}{\partial n^2} = -|g'(\zeta)|^2$$

Ясно также, что

$$\frac{\partial^2 \varphi}{\partial n \partial s} = \frac{\partial^3 \varphi}{\partial n^2 \partial s} = \frac{\partial^3 \varphi}{\partial n \partial s^2} = 0 \quad \text{при } n = 0$$

В силу этих соотношений линии уровня  $\varphi(s, n) = \varepsilon$  параллельны  $\gamma$  при малых  $\varepsilon$  с точностью до  $n^2$ , точнее для этих линий  $n = n(s)$

$$n'(s) = -\frac{\varphi_s}{\varphi_n} = \frac{O(n^3)}{O(n)} = O(n^2) \quad (2.11)$$

Подберем, наконец, значение  $n_0$  настолько малым, чтобы в области  $\Delta(s_1, s_2)$   $\{s_1 \leq s \leq s_2, 0 < n \leq n_0\}$  выполнялись следующие условия:

- а) линии  $s = c_1$  и  $s = c_2$ , соответствующие различным значениям  $c_1$  и  $c_2$ , не пересекались в  $\Delta(s_1, s_2)$ ;
- б)  $\partial^2 \varphi / \partial n^2 \leq m < 0$ ,  $\varphi(s, n) < 0$ ;
- в) функции  $\chi_1'(z)$  и  $f(z)$  не имели особых точек;
- г) линия  $\psi_1 = 0$ , образующая с  $\gamma$  угол  $\alpha_i \pi$  в точке  $a_i$ , лежала при  $n \geq n_0$  в  $\Delta(s_1, s_2)$ .

В отличие от функции  $\varphi(s, n)$  производная по нормали  $\partial \psi_1(s, n) / \partial n$  не равна нулю на  $\gamma$

$$\left. \frac{\partial \psi_1}{\partial n} \right|_{n=0} = -\sqrt{u^2 + v^2} < 0 \quad \text{при } 0 < s < l \quad (2.12)$$

Это следует из того, что  $|g'(\xi)| = 1$  при  $n = 0$  и направление  $n > 0$  соответствует внешней по отношению к области  $D_2$  нормали к  $\gamma$ . Вторая производная по нормали от функции  $\psi_1(s, n)$  ограничена и непрерывна всюду в замкнутой области  $\Delta(s_1, s_2)$ , за исключением, быть может, точек  $a_1$  и  $a_2$ .

Ясно теперь, что для любого заданного  $s_0 > 0$  можно найти такое  $\omega_0 > 0$ , чтобы в области  $\Delta(s_0, l - s_0)$   $\{s_0 \leq s \leq l - s_0, 0 < n \leq n_0\}$  при всех  $\omega \geq \omega_0$  выполнялись неравенства

$$\psi(s, n_0; \omega) > 0, \quad \frac{\partial^2 \psi(s, n; \omega)}{\partial n^2} \geq m^* > 0 \quad (2.13)$$

Эти неравенства вместе с (2.10) и (2.12) показывают, что при заданном  $\omega \geq \omega_0$  на любой линии  $s = c$ ,  $s_0 \leq c \leq l - s_0$  найдется и притом единственная точка области  $\Delta(s_0, l - s_0)$ , в которой  $\psi(s, n; \omega) = 0$ . В силу выпуклости  $\psi(s, n; \omega)$  как функции от  $n$  в этой точке  $\partial \psi / \partial n > 0$  и, следовательно, уравнение

$$\psi(s, n; \omega) = 0, \quad \omega \geq \omega_0 \quad (2.14)$$

определяет в  $\Delta(s_0, l - s_0)$  гладкую кривую  $\Gamma = \{n = q(s), s_0 \leq s \leq l - s_0\}$ . Остается доказать, что при  $0 < \alpha_i < 1$  кривая  $\Gamma$  при своем продолжении влево и вправо попадает в точки  $a_1$  и  $a_2$ . Так как точки  $a_1$  и  $a_2$  вполне равноправны, ограничимся доказательством того, что  $\Gamma$  попадает в точку  $a_2$  при любом  $0 < \alpha < 1$  (для краткости в дальнейшем вместо  $\alpha_2$  будем писать просто  $\alpha$ ).

*Случай*  $0 < \alpha \leq 1/2$ . В этом случае легко показать, пользуясь теоремой относительно второй производной конформного отображения областей с гладкой границей (см. [3], стр. 470) и соображениями, при помощи которых была доказана формула (2.7), что в области  $\Delta(s, l - s_0)$

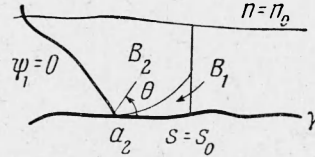
$$\left| \frac{\partial^2 \psi_1}{\partial n^2} \right| < M$$

Следовательно, уравнение (2.14) определяет при достаточно большом  $\omega_0$  и  $0 < \alpha \leq 1/2$  гладкую кривую  $\Gamma$

$$n = q(s), \quad 0 < s \leq l - s_0$$

Введем в рассмотрение линию  $\psi_1 = 0$ , образующую с  $\gamma$  угол  $\alpha \pi$ . При  $0 < \alpha < 1/2$  можно считать, что  $n_0$  было выбрано настолько малым, чтобы линия  $\psi_1 = 0$  пересекала границу области  $\Delta(0, l - s_0)$  только при  $n = n_0$ . Так как на линии  $\psi_1 = 0$  функция  $\varphi < 0$  при  $n \neq 0$ , то  $q(s)$  при  $s \rightarrow 0$  должна стремиться к нулю и кривая  $\Gamma$  при  $s \rightarrow 0$  попадает в точку  $a_2$ .

При  $\alpha = 1/2$  легко видеть из (2.10) и (2.7), что линии уровня  $\varphi(s, n) = \text{const}$  и  $\psi_1(s, n) = \text{const}$  не могут иметь точек касания в области  $B$ , ограниченной линиями  $\psi_1 = 0$ ,  $n = n_0$  и лучом  $\theta = \pi/4$ , выходящим из  $a_2$ ; угол  $\theta$  отсчитывается здесь от касательной к  $\gamma$  (см. формулу (2.12)). Так как  $\text{grad } \psi_1 \neq 0$ , в этой области нет особых точек дифференциального уравнения линий тока (2.5). Линия  $\Gamma$  входит в область  $B$  через луч  $\theta = \pi/4$  и не может кончиться внутри этой области ввиду отсутствия в  $B$  особых точек (см. [4], стр. 430). Следовательно, эта линия при своем продолжении попадает в точку  $a_2$ .



Фиг. 5

Случай  $1/2 < \alpha < 1$ . Этот случай требует несколько более сложного анализа и основан на построении области  $B$  (фиг. 5) такой, что в одной ее части  $B_1$ , прилегающей к  $\gamma$ ,  $\partial^2\psi / \partial n^2 \geq m > 0$ , а в другой —  $B_2$  линии уровня функций  $\varphi$  и  $\psi_1$  не могут соприкоснуться. Установим сначала вид границы области  $B_2$ . На любом луче  $\theta = \delta > 0$  (фиг. 5) найдется точка  $r = r(\delta)$  такая, что при  $r < r(\delta)$  углы наклона вектора скорости и линии уровня  $\varphi = \text{const}$  к касательной к  $\gamma$  будут различны. В самом деле, из (2.7) следует

$$\arg(u + iv) = -\left(\frac{1}{\alpha} - 1\right)\theta + o\left(r^{\frac{1}{\alpha}-\epsilon}\right) \quad (2.15)$$

где  $\epsilon > 0$  — сколь угодно мало. Сравнив (2.15) и (2.11), получим, что  $r(\delta) \rightarrow 0$  при  $\delta \rightarrow 0$  и «нижняя» граница области  $B_2$  имеет вид

$$n = n_2(s), \quad n_2(s) < s^{\frac{1}{\alpha}+1-\epsilon} \quad (\epsilon > 0)$$

где  $\epsilon$  — сколь угодно мало. Покажем, что граница области  $B_1$  лежит при малых  $s$  ( $\alpha < 1$ ) выше  $n_2(s)$ , т. е. что в области, ограниченной  $\gamma$  и  $n_2(s)$

$$\left| \frac{\partial^2 \psi_1}{\partial n^2} \right| < M = \text{const} \quad (2.16)$$

Действительно, из (2.7)

$$\frac{\partial \psi_1}{\partial n} = -cr^{\frac{1}{\alpha}-1} \cos\left(\frac{1}{\alpha} - 1\right)\theta + o\left(r^{\frac{2}{\alpha}-1-\epsilon}\right) \quad (2.17)$$

Дифференцируя (2.17), получаем

$$\left| \frac{\partial^2 \psi_1}{\partial n^2} \right| \approx c \frac{1-\alpha}{\alpha} r^{\frac{1}{\alpha}-2} \sin\left(\frac{1-\alpha}{\alpha}\theta\right)$$

Отсюда следует, что неравенство (2.16) выполнено при

$$n < n_1(s), \quad n_1(s) > s^{3\frac{1}{\alpha}+\epsilon}$$

Так как

$$\frac{1}{\alpha} + 1 - 3 + \frac{1}{\alpha} - 2\left(\frac{1}{\alpha} - 1\right) > 0 \quad \text{при } \alpha < 1$$

неравенство (2.16) справедливо и при  $n \leq n_2(s)$ . Сравнивая полученные результаты, можно убедиться в справедливости следующего утверждения.

Найдется такое малое  $s_0$  и такое большое  $\omega_0$ , что уравнение

$$\psi(s, n; \omega) = 0, \quad \omega \geq \omega_0$$

определяет гладкую кривую  $\Gamma = \{n = q(s), l - s_0 \geq s \geq s_0\}$ ; причем в области  $B$ , ограниченной кривой  $\gamma$  линиями  $s = s_0$ ,  $n = n_0$  и  $\psi_1 = 0$ , продолжение  $\Gamma$  не может пересечь границу  $B$  в точке, отличной от  $a_2$ ,



и не может кончиться в  $B$  (в области  $B_2$  нет особых точек, в области  $B_1$  в точках  $\Gamma$  производная  $\partial\psi / \partial n > 0$  в силу выпуклости  $\psi(s, n)$ ).

Следовательно, кривая  $\Gamma$  при своем продолжении либо доходит до точки  $a_2$ , либо накручивается на предельный цикл  $\Gamma^*$ , расположенный в области  $B$  (см. [4], стр. 430).

Легко видеть, что вторая возможность отпадает. Действительно,  $\psi(x, y; \omega) = 0$  на  $\Gamma^*$  и в силу принципа максимума для субгармонической функции производная от  $\psi$  по внутренней нормали к  $\Gamma^*$  меньше нуля. С другой стороны,  $\Gamma^*$  не может лежать целиком в  $B_2$ , так как в  $B_2$  нет особых точек дифференциального уравнения линий тока. В точках  $\Gamma^*$ , принадлежащих  $B_1$ , производная  $\partial\psi / \partial n > 0$ ; таким образом, приходим к противоречию. Доказательство первой части теоремы закончено, остается проверить, что линии  $L_1(\omega)$  образуют монотонное семейство, стягивающееся при  $\omega \rightarrow \infty$  к  $\gamma$ .

Все построенные решения задачи Б лежат в области  $\Delta(s_1, s_2)$ . Так как во внутренних точках этой области  $\varphi(x, y) < 0$ , линии  $L_1(\omega)$ , отвечающие различным значениям  $\omega$ , не могут иметь общих точек, кроме  $a_1$  и  $a_2$ . Докажем, что при  $\omega_1 > \omega_2 \geq \omega_0$  линия  $L_1(\omega_1)$  лежит внутри области  $D_1(\omega_2)$ , ограниченной  $L_1(\omega_2)$  и  $\gamma$ .

В самом деле, предположим противное, тогда в области  $D_1(\omega_1)$  найдется точка  $(x, y)$ , в которой

$$\psi(x, y; \omega_2) = \psi_1(x, y) - \omega_2\varphi(x, y) = 0$$

С другой стороны, в области  $D_1(\omega_1)$  в силу принципа максимума для уравнения  $\Delta\psi(x, y; \omega_1) = \omega_1$

$$\psi(x, y; \omega_1) \leq 0$$

Ясно, что эти соотношения противоречат одно другому. Легко видеть, наконец, что при  $\omega \rightarrow \infty$  линии  $L_1(\omega)$  стремятся к  $\gamma$ .

**§ 3. Частный случай задачи Б. Исследование течения в области  $D_1$ .** Пусть теперь граница области  $D_2$  потенциального течения состоит из действительной оси с выброшенным отрезком  $(-1, +1)$  и дуги окружности  $\gamma$ , образующей с действительной осью углы

$$\alpha_1\pi = \alpha_2\pi = \alpha\pi, \quad 0 < \alpha < 1$$

Введем в рассмотрение открытую область  $D_2^*$ , симметричную  $D_2$  относительно  $\gamma$ . В силу принципа симметрии Римана — Шварца функция  $\chi_1'(z)$ , являющаяся аналитическим продолжением через  $\gamma$  функции  $\chi_2'(z)$ , не имеет в этой области особых точек. Что касается функции  $f(z)$ , то, используя формулу (2.3), нетрудно получить

$$f(z) = b + \frac{i}{2} \frac{(z - ib)^2 - R^2}{z - ib} \quad \left( b = \operatorname{ctg} \alpha\pi, \quad R = \frac{1}{\sin \alpha\pi} \right) \quad (3.1)$$

Здесь  $b$  — ордината центра окружности, дугой которой является  $\gamma$ , а  $R$  — радиус этой окружности. Таким образом, функция  $f(z)$  также не имеет в  $D_2^*$  особых точек. Покажем теперь, что в  $D_2^*$  содержатся все решения задачи Б. Функция тока  $\psi(x, y; \omega)$  вихревого течения, как это следует из (2.9) и (3.1), имеет в рассматриваемом случае вид

$$\psi(x, y; \omega) = \psi_1(x, y) - \frac{\omega}{4} \left[ R^2 - r^2 + R^2 \ln \frac{r^2}{R^2} \right], \quad r = |z - ib| \quad (3.2)$$

Рассмотрим функцию

$$g(x, y) = \frac{\psi_1(x, y)}{\varphi(x, y)}$$

заданную в  $D_2^*$ . Функция  $\omega = g(x, y)$  дает значение  $\omega$  для кривой  $L_1(\omega)$ , проходящей через точку  $(x, y)$ , если такая кривая существует. На границе

области  $D_2^*$ , состоящей из  $\gamma$  и дуги окружности  $\gamma^*$ , проходящей через точки  $-1, +1$  и  $ib$

$$g(x, y) = \infty \quad \text{при } z \in \gamma, \quad z \neq \pm 1$$

$$g(x, y) = 0 \quad \text{при } z \in \gamma^*, \quad z \neq \pm 1, ib$$

Таким образом, линии  $L_1(\omega)$  могут пересекать границу  $D_2^*$  только в точках  $\pm 1$  и  $ib$ . Так как в точке  $z = ib$  нарушается регулярность поля скоростей вихревого течения, то отсюда следует, что все линии  $L_1(\omega)$  лежат в области  $D_2^*$ .

Рассмотрим особые точки дифференциального уравнения линий тока в области  $D_2^*$ . В силу принципа симметрии линии

$$\psi_1(x, y) = \text{const}$$

при инверсии относительно  $\gamma$  переходят в линии тока потенциального течения в  $D_2$ . Так как функция  $\varphi(x, y)$  зависит только от  $r = |z - ib|$ , то образы линий

$$\varphi(x, y) = \text{const}$$

представляют собой концентрические окружности  $\gamma$ , с центром в точке  $ib$ .

Для того чтобы выяснить взаимное расположение линий этих двух семейств, перейдем к новой независимой переменной

$$z - ib = e^\zeta, \quad \zeta = \ln |z - ib| + i\alpha$$

и рассмотрим функцию

$$W(\zeta) = \chi_2(e^\zeta + ib) = \varphi_2 + i\psi_2$$

Легко проверить, пользуясь очевидным соотношением

$$W'(\zeta) = \chi_2' e^\zeta = -i \frac{\partial \varphi_2}{\partial \alpha} + \frac{\partial \psi_2}{\partial \alpha}$$

и принципом максимума для гармонической функции  $\partial \psi_2 / \partial \alpha$ , что в точках  $z \in D_2$ , лежащих правее прямой  $x = 0$ , производная  $\partial \psi_2 / \partial \alpha > 0$ , а в точках, лежащих левее этой прямой,  $\partial \psi_2 / \partial \alpha < 0$ . Следовательно, в точке пересечения  $z$  окружности  $\gamma_r$  и линии тока, касательные к этим линиям, совпадают только при  $x = 0$ . Возвращаясь к вихревому течению в области  $D_2^*$ , убеждаемся, что все особые точки дифференциального уравнения линий тока (2.5) лежат на прямой  $x = 0$ . Взаимное расположение линий уровня функций  $\psi_1(x, y)$  и  $\varphi(x, y)$  показано на фиг. 6.

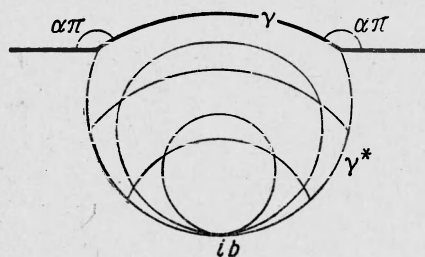
Перейдем теперь к исследованию структуры семейства решений  $L_1(\omega)$  задачи Б; в рассматриваемом случае этот вопрос выясняется до конца. Линии  $L_1(\omega)$  по определению представляют собой гладкие решения уравнения

$$\psi(x, y; \omega) = 0 \tag{3.3}$$

проходящие через точки  $+1$  и  $-1$ . Рассмотрим класс всех решений  $l(\omega)$  уравнения (3.3) или, что то же, семейство линий уровня  $g(x, y) = \omega$ . Так как функция  $g(x, y)$  в  $D_2^*$  является однозначной и принимает только положительные значения, линии  $l(\omega)$ , отвечающие различным значениям  $\omega$ , не пересекаются в  $D_2^*$ , и на любой  $l(\omega)$  величина  $\omega$  больше нуля. Из непрерывности  $g(x, y)$  следует, что на каждой прямой  $x = c, 0 < |c| < 1$  найдется точка  $z \in D_2^*$ , через которую<sup>1</sup> проходит кривая  $l(\omega)$  с заданным  $\omega > 0$ . Иначе обстоит дело на прямой  $x = 0$ . Легко видеть, что  $g(0, y) \rightarrow +\infty$  при  $y \rightarrow b, b + R$ . Поэтому

$$\min g(0, y) = \omega_1 > 0, \quad b < y < b + R$$

<sup>1</sup> Нетрудно убедиться, исходя из картины линий уровня  $\varphi(x, y)$  и  $\psi_1(x, y)$ , показанной на фиг. 6, что  $l(\omega)$  при своем продолжении «в сторону» прямой  $x = 0$  пересекает эту прямую.



Фиг. 6

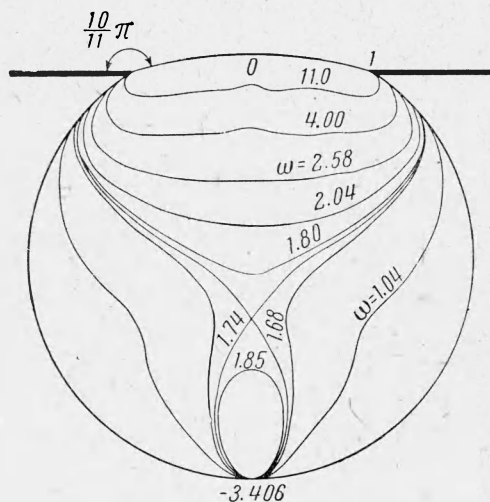
и для линий  $l(\omega)$ , пересекающих прямую  $x = 0$  во внутренней точке  $D_2^*$ ,  $\omega \geq \omega_1$ . Воспользуемся теперь следующей леммой, доказательство которой будет приведено в конце работы.

*Лемма.* Для любой дуги окружности  $\gamma$ , образующей с действительной осью углы  $\alpha$ ,  $0 < \alpha < 1$ , поле скоростей  $(u, v)$  вихревого течения в области  $D_2^*$ , отвечающее заданной величине завихренности  $\omega > 0$ , имеет на прямой  $x = 0$  не более двух стационарных точек ( $u = v = 0$ ).

В силу этой леммы производная  $f'(y)$  функции

$$f(y) = \psi(0, y) = \psi_1(0, y) - \omega\phi(0, y)$$

может обращаться в нуль на  $(b, b + R)$  не более двух раз. Легко видеть отсюда, что функция  $g(y) \equiv g(0, y)$  принимает значение  $\omega > 0$  не более



Фиг. 7

чем в двух точках и, если обозначить через  $y_1$  точку, в которой  $g(y)$  достигает минимума  $|g(y_1) = \omega_1|$ , то  $g'(y) > 0$  при  $y > y_1$  и  $g'(y) < 0$  при  $y < y_1$ . Нетрудно показать теперь, пользуясь принципом максимума для субгармонической функции  $\psi(x, y; \omega)$  и симметрией  $l(\omega)$  относительно прямой  $x = 0$ , что линии  $l(\omega)$ , выходящие из точек  $(0, y)$ ,  $y > y_1$ , при своем продолжении попадают в точки  $\pm 1$  и линии  $l(\omega)$ , выходящие из точек  $(0, y)$ ,  $y < y_1$ , при своем продолжении попадают в точку  $ib$ . Семейство линий  $l(\omega)$ , соответствующее  $\alpha = 10/11$ , показано на фиг. 7.

Из сформулированной выше леммы видно, что в области  $D_1$ , ограниченной  $\gamma$  и  $L_1(\omega)$ ,  $\omega > \omega_1$ , поле скоростей  $(u, v)$  вихревого течения имеет только одну стационарную точку  $[0, y_2(\omega)]$ . Линии тока этого течения не могут пересечь границу  $D_1$  (в противном случае внутри  $D_1$  нашлись бы точки, в которых  $\psi(x, y; \omega) = 0$ ) и, следовательно, представляют собой либо предельные циклы, либо спирали (см. [4], стр. 430). Так как в силу леммы каждая линия тока пересекает прямую  $x = 0$  только в двух точках, последняя возможность отпадает. Сформулируем полученные результаты в виде теоремы.

*Теорема 3.1.* Для любой дуги окружности  $\gamma$ , образующей с действительной осью углы  $\alpha$ ,  $0 < \alpha < 1$ , найдется такое  $\omega_1 > 0$ , что решение  $L_1(\omega)$  задачи Б существует при всех  $\omega > \omega_1$  и не существует при  $\omega < \omega_1$ . В области  $D_1(\omega)$ ,  $\omega > \omega_1$ , ограниченной  $L_1(\omega)$  и  $\gamma$ , линии тока вихревого течения (с завихренностью  $\omega$ ) представляют собой гладкие замкнутые кривые без точек самопересечения. Все эти линии тока содержат внутри себя единственную стационарную точку  $u = v = 0$  поля скоростей, расположенную на прямой  $x = 0$ .

Заметим в дополнение к теореме 3.1, что линии  $L_1(\omega)$  и  $\gamma$  образуют в точках  $\pm 1$  при  $0 < \alpha < 1/2$  нулевой угол; при  $1/2 < \alpha < 1$  — угол  $\alpha$ , а при  $\alpha = 1/2$  этот угол меняется в зависимости от  $\omega$  от 0 до  $\arcsin \omega_1/2c \approx \arcsin 2 \approx 74^\circ$  (см. (2.8)). Нетрудно проверить также, что  $y_1 \rightarrow -\infty$  при  $\alpha \rightarrow i$ ; следовательно, в рассматриваемом классе течений по схеме М. А. Лаврентьева «траншея» может быть сделана глубокой за счет увеличения  $\alpha$ .

Следующее замечание касается вопроса о том, где достигается максимум давления, — на границе области  $D_1$  вихревого течения или внутри нее в стационарной точке (см. стр. 7). Для рассматриваемого класса течений в силу теоремы 3.1 все

линии тока являются замкнутыми кривыми, и в  $D_1$  есть только одна стационарная точка  $(0, y_2)$ . Минимум давления на границе  $D_1$  равен  $p_0 = -\frac{1}{2} \rho q_0^2$ , где через  $q_0$  обозначен максимум модуля скорости  $q$  на границе  $D_1$ . Будем считать, что этот максимум  $q$  достигается в верхней точке  $\gamma$ , расположенной на прямой  $x=0$ . Во всяком случае  $q_0$  больше, чем значения  $q$  во всех остальных точках  $\gamma$  и, как показывают расчеты, выполненные для  $\alpha = 1/2$ ,  $\alpha = 3/4$  и  $\alpha = 10/11$  при любом  $\omega > \omega_1$ ,  $q_0$  больше, чем значение  $q$  в точке пересечения  $L_1(\omega)$  с прямой  $x=0$  (в этой точке  $q$  достигает относительного максимума, если  $L_1(\omega)$  выпукла кверху). Покажем, что для областей  $D_1(\omega)$ , для которых линия  $L_1(\omega)$  монотонно убывает при  $-1 < x < 0$ , давление в точке  $[0, y_2(\omega)]$  меньше, чем

$$p_0 = -\frac{1}{2} \rho q_0^2$$

Действительно, в силу интеграла Бернулли (1.2) имеем на прямой  $x=0$

$$\frac{\partial p}{\partial y} = -u u_y + \omega \psi_y = u(\omega - u_y) = u v_x$$

Так как по предположению на части границы  $D_1$ , расположенной левее прямой  $x=0$ , имеем  $v > 0$ , то  $v_x \leq 0$  при  $x=0$ . В силу леммы имеем также  $u > 0$  при  $x=0$  и  $y > y_2(\omega)$ . Следовательно,  $\partial p / \partial y < 0$  и давление в точке  $(0, y_2)$  меньше  $p_0$ .

*Дополнение. Доказательство леммы, сформулированной на стр. 78.* Так как  $v=0$  на прямой  $x=0$ , стационарные точки поля скоростей (2.4) совпадают с точками  $(0, y)$ , для которых

$$u = \frac{\partial \psi_1}{\partial y} - \omega \frac{\partial \Phi}{\partial y} = 0$$

Будем считать для определенности, что  $\chi_2'(\infty) = 1$  (поле скоростей  $\mathbf{v}^*$  в  $D_2$  и  $D_2^*$ , отвечающее  $\chi_2'(\infty) = K$ , связано с полем скоростей  $\mathbf{v}$ , отвечающим  $\chi_2'(\infty) = 1$  простым соотношением  $\mathbf{v}^* = K\mathbf{v}$ ), тогда, представив конформное отображение  $\chi_2(z)$  области  $D_2$  на полуплоскость как суперпозицию отображений

$$z_1 = \frac{z-1}{z+1}, \quad z_2 = z_1^{1/2}, \quad \chi = \frac{2}{\alpha} \frac{1}{1-z_2}$$

находим без труда, что на прямой  $x=0$

$$\frac{\partial \psi_1}{\partial y} = \left[ \alpha^2 (1+y^2) \sin^2 \left( \frac{1}{\alpha} \arctg y \right) \right]^{-1} = u_1(y) \quad (3.4)$$

Заметим попутно, что из (3.4) вытекает следующее представление:

$$\psi_1(0, y) = \frac{1}{\alpha} \arctg \left( \frac{1}{\alpha} \arctg y \right)$$

Рассмотрим функцию

$$u(y) t^2 = u_1 t^2 + \frac{\omega}{2} (t^3 - R^2 t) \quad (3.5)$$

где  $t = y - b$ ,  $b = \arctg \alpha \pi$ ,  $R = 1 / \sin \alpha \pi$  (см. (3.1)). Лемма будет доказана, если показать, что эта функция выпукла при  $0 < t < R$ . Второе слагаемое в (3.5) имеет, очевидно, положительную вторую производную при всех  $\omega > 0$ ,  $t > 0$ . Достаточно показать, таким образом, что

$$\frac{d^2}{dt^2} (u_1 t^2) \geq 0, \quad 0 < t < R$$

или, другими словами, показать выпуклость скорости потенциального течения  $u_2(0, y)$  по переменной  $t = R^2 / y - b$ . Перейдем к переменной  $s$

$$\pi - s = \frac{1}{\alpha} \arctg y, \quad y = \arctg \alpha (\pi - s)$$

Легко видеть, что

$$s = 0 \quad \text{при } y = b = \arctg \alpha \pi, \quad s = \frac{\pi}{2} \quad \text{при } y = R + b = \arctg \frac{\alpha \pi}{2}$$

$$u_1(y) t^2 = \frac{1}{\alpha^2 \sin^2 \alpha \pi} \frac{\sin^2 \alpha s}{\sin^2 s}$$

Так как из выпуклости положительной функции следует выпуклость квадрата этой функции, достаточно показать, что при  $0 < s < \pi/2$

$$\frac{d^2}{dt^2} \left( \frac{\sin \alpha s}{\sin s} \right) \equiv \frac{d^2}{ds^2} [f(s)] = f'' \left( \frac{ds}{dt} \right)^2 + f' \frac{d^2 s}{dt^2} \geq 0$$

Имеем

$$\frac{ds}{dt} = \frac{1}{\alpha} \sin^2 \alpha (\pi - s), \quad \frac{d^2s}{dt^2} = -\frac{2}{\alpha} \cos \alpha (\pi - s) \sin^3 \alpha (\pi - s)$$

$$f' = \frac{\sin \alpha s}{\sin s} (\alpha \operatorname{ctg} \alpha s - \operatorname{ctg} s), \quad f'' = \frac{\sin \alpha s}{\sin s} [1 - \alpha^2 + 2 \operatorname{ctg} s (\operatorname{ctg} s - \alpha \operatorname{ctg} \alpha s)]$$

Следовательно,

$$\frac{d^2}{dt^2} [f(s)] \sim 1 - \alpha^2 - 2(\alpha \operatorname{ctg} \alpha s - \operatorname{ctg} s) [\operatorname{ctg} s + \alpha \operatorname{ctg} \alpha (\pi - s)]$$

или

$$\frac{d^2}{dt^2} [f(s)] \sim 1 - 2 \frac{\alpha \operatorname{ctg} \alpha s - \operatorname{ctg} s}{1 - \alpha^2} [\operatorname{ctg} s + \alpha \operatorname{ctg} \alpha (\pi - s)] \quad (3.6)$$

Пользуясь разложением  $\operatorname{ctg} x$  при  $0 < |x| < \pi$  в степенной ряд, находим

$$\frac{\alpha \operatorname{ctg} \alpha s - \operatorname{ctg} s}{1 - \alpha^2} = \frac{s}{2} + \left( \frac{1 + \alpha + \alpha^2 + \alpha^3}{1 + \alpha} \right) \frac{s^3}{45} + \left( \frac{1 + \alpha + \dots + \alpha^5}{1 + \alpha} \right) \frac{2s^5}{945} + \dots \quad (3.7)$$

Из (3.7) видно, что функция

$$g_1(s, \alpha) = \frac{\alpha \operatorname{ctg} \alpha s - \operatorname{ctg} s}{(1 - \alpha^2)s}$$

монотонно возрастает при возрастании  $s$  и  $\alpha$ . Максимум  $g_1(s, \alpha)$  по  $s$  при фиксированном  $\alpha$  достигается при  $s = \pi/2$  и равен

$$g_1\left(\frac{\pi}{2}, \alpha\right) = 2 \frac{\alpha \operatorname{ctg}(\alpha\pi/2)}{\pi(1 - \alpha^2)} \quad (3.8)$$

Легко видеть, что  $g_1(\pi/2, \alpha) \rightarrow 1/2$  при  $\alpha \rightarrow 1$ . Второй множитель в (3.6)

$$g_2(s, \alpha) = s \operatorname{ctg} s + \alpha s \operatorname{ctg} \alpha (\pi - s)$$

напротив, убывает при увеличении  $\alpha$  (и фиксированном  $s$ ). Действительно,

$$\frac{\partial g_2(s, \alpha)}{\partial \alpha} = \frac{s}{2 \sin^2 \alpha (\pi - s)} [\sin 2\alpha (\pi - s) - 2\alpha (\pi - s)] \leq 0$$

При  $\alpha \rightarrow 1$  функция  $g_2(s, \alpha) \rightarrow 0$  равномерно по  $s$  ( $0 \leq s \leq \pi/2$ ). Нужно показать, что при всех  $0 < s < \pi/2$ ,  $0 < \alpha < 1$

$$2g_1(s, \alpha) g_2(s, \alpha) \leq 1$$

Рассмотрим сначала случай  $1/2 \leq \alpha < 1$ . Ясно из сделанных выше замечаний, что при всех  $0 < s < \pi/2$ ,  $1/2 \leq \alpha < 1$

$$2g_1(s, \alpha) g_2(s, \alpha) \leq g_2\left(s, \frac{1}{2}\right) = \frac{s}{2} \operatorname{ctg} \frac{s}{2}$$

Легко проверить, что максимум  $(s/2) \operatorname{ctg}(s/2)$  достигается при  $s = 0$  и равен 1. В случае  $0 < \alpha < 1/2$  имеем

$$2g_1(s, \alpha) g_2(s, \alpha) \leq 2g_1\left(\frac{\pi}{2}, \frac{1}{2}\right) g_2(s, 0)$$

где через  $g_2(s, 0)$  обозначен предел  $g_2(s, \alpha)$  при  $\alpha \rightarrow 0$ . Из (3.8) имеем

$$g_1\left(\frac{\pi}{2}, \frac{1}{2}\right) = \frac{4}{3\pi} \approx 0.425$$

Нужно, следовательно, показать, что

$$g_2(s, 0) = s \operatorname{ctg} s + \frac{s}{\pi - s} \leq 1.17$$

Несложные вычисления показывают, что максимум  $g_2(s, 0)$  достигается вблизи  $s = \pi/4$  и равен приблизительно 1.12. Доказательство леммы закончено.

Поступила 12 III 1962

#### ЛИТЕРАТУРА

1. Batchelor G. K. On steady laminar flow with closed streamlines at large Reynolds number, J. of Fluid Mech., 1956, Vol. 1, part 2.
2. Миранда К. Уравнения с частными производными эллиптического типа. Изд-во иностр. лит-ры, 1957.
3. Голузин Г. М. Геометрическая теория функций комплексного переменного. Гостехиздат, 1952.
4. Кордингтон Э. А., Левинсон И. Теория обыкновенных дифференциальных уравнений. Изд-во иностр. лит-ры, 1958.